

же токе нейтронный выход падает в три раза. По-видимому, можно утверждать, что в результате искажения решетки титана при бомбардировке его ионами трития атомы трития, вбитые в решетку,держиваются сильнее, чем атомы трития, внесенные в титан путем сорбции.

Итак, проведенные исследования показывают, что наиболее подходящей мишенью для нейтронного генератора является набивная мишень. В качестве под-

ложки следует использовать материалы, обладающие низким коэффициентом диффузии трития и большой теплопроводностью. Такими материалами являются серебро, медь, молибден.

В заключение считаем своим долгом выразить благодарность О. К. Горшинич за участие в проведении данной работы и В. А. Степаненко за изготовление мишеней.

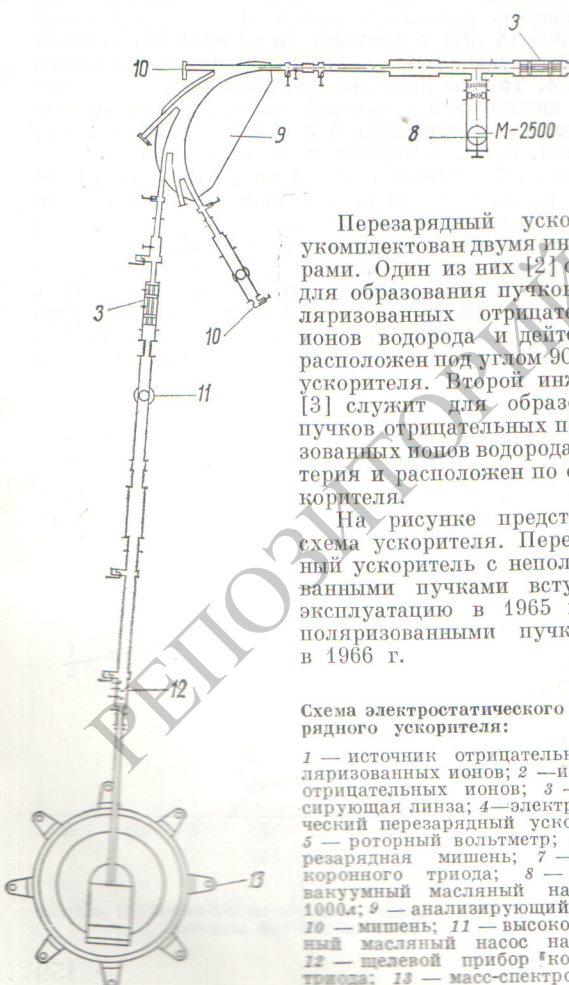
Поступило в Редакцию 18/VII 1968 г.

Перезарядный ускоритель для ядерных исследований с поляризованными пучками ускоренных ионов

А. Р. ВАЛЬТЕР, В. Х. БЕЛИЯЕВ, Ю. З. ЛЕВЧЕНКО, Л. И. ПИВОВАР,
И. Е. КИСЕЛЕВ, Р. П. СЛАБОСПИЦКИЙ, А. С. ДЕЙНЕКО,
А. Я. ТАРАНОВ, С. П. ЦЫТКО

УДК 621.384.653.4

В 1960 г. в ФТИ АН УССР был изготовлен перезарядный ускоритель горизонтального типа [1] для исследований ядерных реакций с пучками ускоренных поляризованных протонов и дейтонов в области энергий $0,8\text{--}3,1$ Мэв.

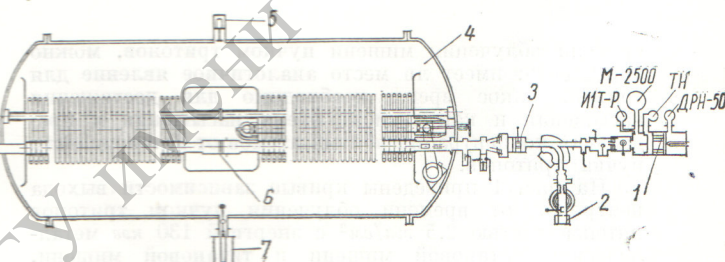


Перезарядный ускоритель укомплектован двумя инжекторами. Один из них [2] служит для образования пучков неполяризованных отрицательных ионов водорода и дейтерия и расположен под углом 90° к оси ускорителя. Второй инжектор [3] служит для образования пучков отрицательных поляризованных ионов водорода и дейтерия и расположен по оси ускорителя.

На рисунке представлена схема ускорителя. Переизарядный ускоритель с неполяризованными пучками вступил в эксплуатацию в 1965 г., а с поляризованными пучками — в 1966 г.

Схема электростатического перезарядного ускорителя:

1 — источник отрицательных поляризованных ионов; 2 — источник отрицательных ионов; 3 — фокусирующая линза; 4 — электростатический перезарядный ускоритель; 5 — роторный вольтметр; 6¹ — перезарядная мишень; 7 — стрела коронного триода; 8 — высоковакуумный масляный насос на 1000 л/с; 9 — анализирующий магнит; 10 — мишень; 11 — высоковакуумный масляный насос на 500 л/с; 12 — щелевой прибор коронного триода; 13 — масс-спектрометр с широкой дорожкой.



в ускорительную трубку фокусируется линзами на мишень в перезарядной камере, расположенной внутри кондуктора ускорителя. Фольговые перезарядные мишени, изготовленные из углеродных пленок методом термовакуумного испарения [4], устанавливаются в кассету, представляющую собой диск с двадцатью окнами для мишеней. Замена фольговой мишени по мере надобности осуществляется дистанционно с использованием светового луча. Фольговые мишени, используемые для перезарядки ускоренных отрицательных ионов, изготавливаются толщиной $\leqslant 0,1 \text{ мк}$. При такой толщине мишени рассеяние ионов с энергиями $> 400 \text{ кэВ}$ незначительно.

Число ионов, проходящих через перезарядный ускоритель в прямом канале, составляет до 70% и при работе с неполяризованными пучками ток на рабочую мишень равен 4 мкА при диаметре пучка 4 мм.

Пучок поляризованных ионов дейтерия в первых исследованиях использовался только в прямом канале. Интенсивность поляризованного пучка дейтонов, измеряемая на входе в ускоритель, равнялась $1 \cdot 10^{-9}$ а. Ток поляризованных дейтонов, прошедший через диафрагму (диаметром 3,5 мм) рабочей мишени, устойчиво удерживался на уровне $2 \cdot 10^{-10}$ а, что соответствует прохождению 20% пучка.

Энергия ускоренных ионов при работе на прямом канале измерялась с помощью роторного вольтметра, проградуированного по резонансам реакции $\text{Al}^{27}(p, \gamma) \text{Si}^{28}$ [5]. Точность измерения ускоряющего напряжения без стабилизации 1%.

На выходе ускорителя расположен магнитный анализатор с выходами для пучков под углами $\alpha_1 = 0^\circ$ (прямой канал), $\alpha_2 = 85^\circ$ и $\alpha_3 = 120^\circ$ с радиусами

$R_2 = 1590$ см и $R_3 = 1300$ см соответственно, что позволяет проводить исследования как на прямом, так и на отклоненных пучках.

При работе с неполяризованными ионами на рабочей мишени магнитного спектрографа с широкой дорожкой [6] ($\alpha_2 = 85^\circ$) получен ток 0,9 мкА при диафрагме диаметром 3 мм, а на рабочей мишени выхода ($\alpha_3 = 120^\circ$) — ток 0,5 мкА при диафрагме диаметром 1 мм [7].

Для стабилизации ускоряющего напряжения используется коронирующий триод с датчиком от щелевого прибора. Коронирующий одногольчатый триод проверен в работе при измерениях ширин ядерных резонансов в реакциях $\text{Al}^{27}(p, \gamma)\text{Si}^{28}$ и $\text{Ne}^{22}(p, \gamma)\text{Na}^{23}$ [8]. В измерениях обеспечивается моноэнергетичность ускоренных ионов до значения 0,05%. Определение энергии ускоренных ионов в отклоненных пучках производится с помощью ядерного магнитного резонанса. Ошибка в определении энергии ускоренных ионов $\pm 0,1\%$.

Выполненные исследования на перезарядном ускорителе по изучению поляризации дейтонового пучка по угловому распределению протонов из реакции $\text{He}^3(\alpha, p)\text{He}^4$ [9] показывают хорошую стабильность поляризации ускоренного пучка, что позволяет проводить исследования ядерных взаимодействий, зависящих от спиновых состояний.

Применение нейтронного активационного анализа для определения содержания флюорита в рудничных вагонетках

В. И. ПРОКОПЧИК, А. П. БУШКОВ, К. Г. БЕРНАДСКИЙ

В настоящее время в практике геологоразведочных работ и при эксплуатации месторождений большое значение приобретает нейтронный активационный метод определения флюорита (CaF_2) в рудах, основанный на регистрации жесткого γ -излучения (энергия γ -квантов 6,13 и 7,11 МэВ) короткоживущего радиоактивного изотопа N^{16} ($T_{1/2} = 7,5$ сек), образующегося в результате ядерной реакции $\text{F}^{19}(n, \alpha)\text{N}^{16}$ на быстрых нейтронах Рo — Be-источника [1—3].

Для определения содержания флюорита в рудах в естественном залегании проводится активационный каротаж скважин и опробование открытых выработок; кроме того, в лабораторных условиях анализируются пробы руд и продуктов обогащения. Однако иногда возникает необходимость экспрессного определения содержания флюорита в руде, находящейся в больших емкостях, например в вагонетках. Для решения этой задачи была разработана установка, схема которой представлена на рис. 1.

Установка состоит из металлической стойки 1 с блоком 2, через который проходит стальной трос 3. Один конец троса укреплен на барабане 4, приводимом в движение электродвигателем, на втором конце троса закреплен источник нейтронов 5 и детектор излучения 6 (расстояние между ними — 2 м). На этой же стойке помещается толкател 7, управляемый электромагнитом 8. В комплект установки входят также блок регистрирующей аппаратуры 9 и блок автоматического управления работой 10. Установка работает следующим образом. В исходном положении источник нейтронов находится в металлической трубе 11, закопанной в грунт и заполненной водой для защиты от излучения. В момент, когда вагонетка с рудой 12 останавливается возле установки, включается электродвигатель и трос, накручиваясь на ба-

Авторы выражают благодарность А. П. Ключареву за постоянный интерес и обсуждение предварительных результатов работы.

Поступило в Редакцию 23/VIII 1968 г.

ЛИТЕРАТУРА

1. А. К. Вальтер и др. Электростатические генераторы. Сб. ст. под редакцией А. К. Вальтера. М., Атомиздат, 1959, стр. 193.
2. Я. М. Фогель, А. Г. Коваль, А. Д. Тимофеев. ЖТФ, XXIX, 1381 (1959).
3. Р. П. Слабосицкий и др. «Изв. АН СССР. Сер. физ.» 32, 134 (198).
4. И. Я. Малахов, А. С. Дайнеко, Г. Б. Андреев. «Приборы и техн. эксперим.», 3, 218 (1966).
5. R. E. P. C. Van Der Zeun. Nucl. Phys. 34, № 1, 115 (1962).
6. А. К. Вальтер и др. «Приборы и техн. эксперим.», 4, 216 (1968).
7. Л. И. Пивовар, Ю. З. Левченко. ЖЭТФ, 52, 42 (1967).
8. Г. Б. Андреев и др. «Изв. АН СССР. Сер. физ.», XXX, № 8, 1396 (1966).
9. Р. П. Слабосицкий и др. «Ядерная физика», 6, 992 (1967).

УДК 543.53:539.172.4

бан, поднимает источник до уровня центра вагонетки. Затем толкатель прижимает источник к стенке вагонетки и в течение заданного времени (60 сек) происходит активация руды. После окончания активации толкатель отходит, включается электродвигатель, который, вращаясь в обратную сторону, быстро (примерно за 2 сек) опускает источник в трубу с водой. На место источника помещается детектор излучения, который тем же толкательем прижимается к стенке вагонетки. В этот момент начинается регистрация γ -излучения наведенной активности. После окончания измерения (время измерения также 60 сек) толкатель отходит и установка возвращается в исходное состояние.

Для активации используется Рo — Be-источник мощностью 1—2·10⁷ нейтр/сек. Детектор γ -излучения выполнен в виде кассеты размером 30 × 19 × 5 см, состоящей из 17 газоразрядных счетчиков СИ-22Г, размещенных в два ряда. Газоразрядные счетчики по некоторым показателям уступают сцинтилляционным с кристаллом NaI(Tl). Сцинтилляционные счетчики позволяют, например, с помощью амплитудного дискриминатора регистрировать γ -излучение только изотопа N¹⁶, избавляясь при этом от помех, создаваемых активацией других элементов, входящих в состав флюоритовых руд. Однако в тех случаях, когда не требуется высокой точности анализа, вполне допустимо использование газоразрядных счетчиков, так как различие в периодах полураспада образующихся изотопов позволяет уменьшить мешающее действие большинства элементов. Так, результаты опытов свидетельствуют о том, что в этом случае вклад активации других элементов не превышает величины, эквивалентной содержанию 3—5% флюорита. Применение газоразрядных счетчиков оправдывается также большой простоятой и надежностью регистрирующей аппаратуры.